

XV Всероссийская Конференция-школа молодых исследователей "Современные проблемы математического моделирования"

**ЧИСЛЕННОЕ МОДЕЛИРОВАНИЕ  
НЕЛИНЕЙНЫХ  
ЭФФЕКТОВ В ПЛАЗМЕ ПОД  
ДЕЙСТВИЕМ  
ЭЛЕКТРОННОГО ПУЧКА**

*Ефимова А.А., Берендеев Е.А.*

Институт Вычислительной Математики  
и Математической Геофизики СО РАН

- Работа направлена на изучение эффективности генерации электромагнитного излучения в различных нелинейных процессах, возникающих при инжекции в плазму электронного пучка. Данная задача актуальна как для лабораторных экспериментов по турбулентному нагреву плазмы в открытых ловушках, так и для интерпретации различных явлений в космической плазме (солнечные и гамма вспышки, излучения в магнитосферах планет, генерация высокоэнергетических космических лучей).
- Открытые магнитные ловушки являются одним из направлений в решении проблемы управляемого термоядерного синтеза, и одно из преимуществ этих систем перед замкнутыми конфигурациями состоит в возможности ввода в плазму электронных пучков большой мощности. В частности, инжекция килоамперного слаборелятивистского пучка в плазму на установке ГОЛ-3 (ИЯФ СО РАН) приводит к возбуждению сильной ленгмюровской турбулентности и последующему нагреву плазмы до температуры 2-3 кэВ за несколько микросекунд.
- Физический механизм взаимодействия плазмы с релятивистским электронным пучком включает в себя резонансное возбуждение колебаний плазмы, возникновение модуляции плотности плазмы с последующим рассеянием электронов в области с повышенной плотностью.
- Именно за счет рассеяния электронов, как предполагается, и возникает эффект понижения теплопроводности на порядки. Под модуляцией плотности в данном случае подразумевается возникновение в плазме с первоначально равномерной плотностью областей с повышенной либо пониженной плотностью.

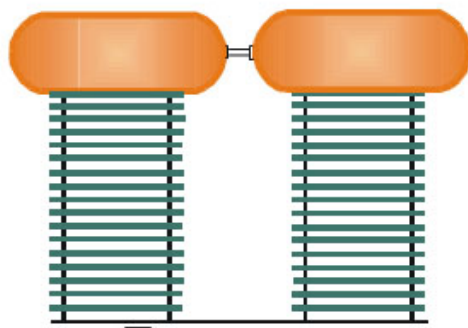
# Установка ГОЛ-3 (ИЯФ СО РАН)

## Электронный пучок

энергия  $0.5 \div 0.8$  МэВ  
ток  $\sim 30$  кА  
длительность  $\sim 10$  мкс

## Плазма

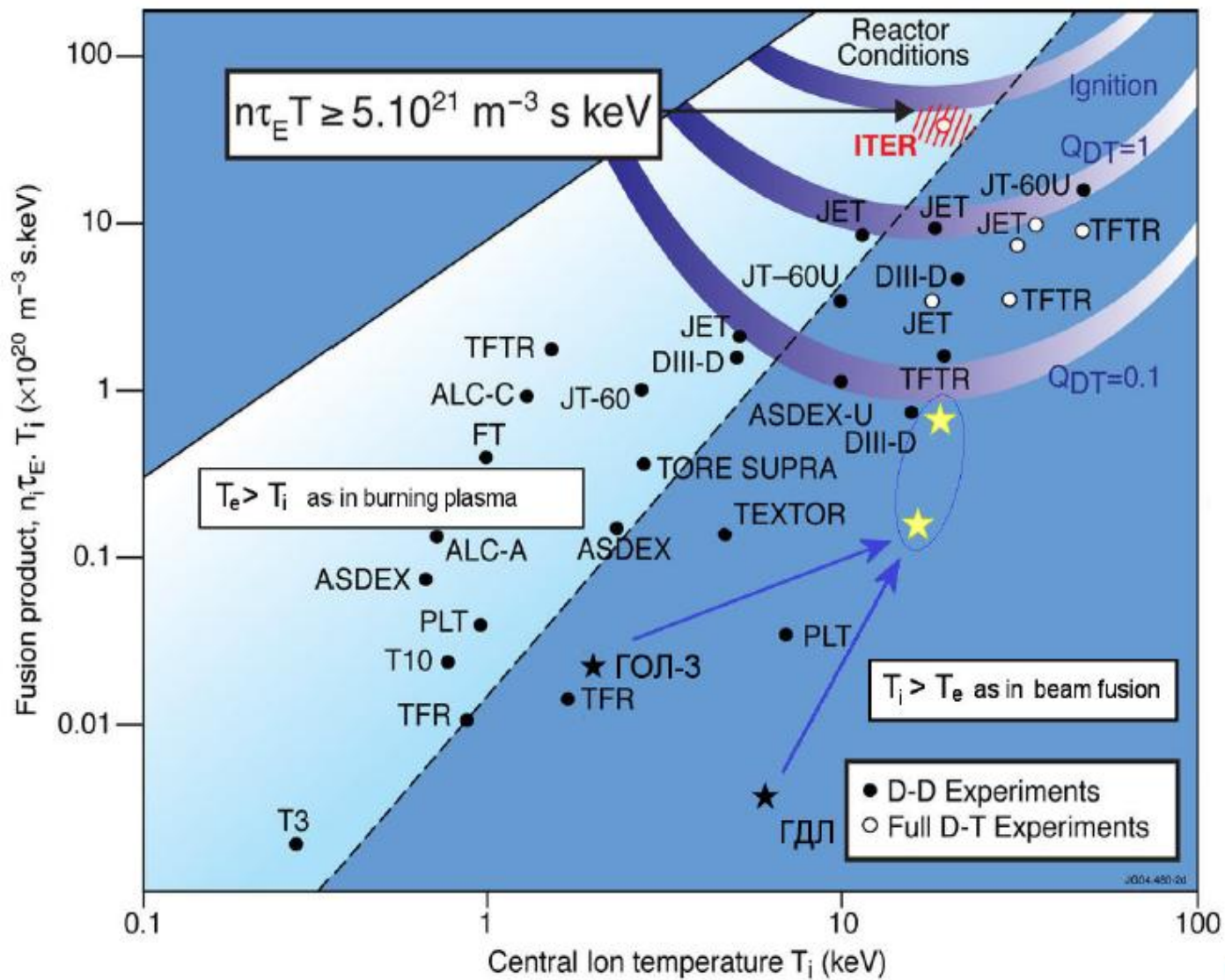
плотность  $10^{13} \div 10^{16}$  см<sup>-3</sup>  
температура  $T_e \approx T_i \sim 2$  кэВ  
время жизни до 1 мс



Генератор электронного пучка У-2



# Открытые ловушки ИЯФ в сравнении с токамаками



# Постановка задачи

- Рассматривается приближение бесстолкновительной плазмы.
- Задача описывается системой уравнений Власова-Максвелла:

$$\frac{\partial f_k}{\partial t} + (\vec{v}, \vec{\nabla}) f_k + q_k \left( \vec{E} + \frac{1}{c} [\vec{v} \times \vec{H}] \right) \frac{\partial f_k}{\partial \vec{p}} = 0, \quad k = 1, 2, 3$$

$$\text{rot} \vec{H} = \frac{4\pi}{c} \vec{j} + \frac{1}{c} \frac{\partial \vec{E}}{\partial t} \quad \text{rot} \vec{E} = -\frac{1}{c} \frac{\partial \vec{H}}{\partial t}$$

$$\text{div} \vec{E} = 4\pi \rho \quad \text{div} \vec{H} = 0$$

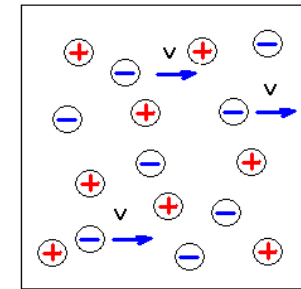
$$\vec{j} = \sum_k q_k \int \vec{v} f_k(\vec{p}, \vec{r}, t) d\vec{p} \quad \rho = \sum_k q_k \int f_k(\vec{p}, \vec{r}, t) d\vec{p}$$

где  $f_k$  - функция распределения частиц сорта  $k$  (электроны пучка, электроны или ионы плазмы),  $\vec{v}$  - скорость частиц,

$\vec{H}$  - магнитное поле,  $\vec{E}$  - электрическое поле,

$c$  - скорость света,  $\rho$  - плотность электрического заряда,

$\vec{j}$  - плотность электрического тока,  $q_k$  - заряд частицы сорта  $k$ .



расчётная область

- Область имеет форму прямоугольника.
- Граничные условия периодические.
- Начальная плотность электронов и ионов однородная.
- Распределение по скоростям ионов и электронов максвелловское.

# Решение уравнения Власова

- Плазма моделируется набором отдельных частиц, каждая из которых характеризует движение многих физических частиц.
- Характеристики уравнения Власова описывают траектории движения частиц.
- Уравнения движения частиц:

$$\frac{d\vec{p}_k}{dt} = q_k \left( \vec{E} + \beta_0 [\vec{v}_k, \vec{H}] \right) \quad \vec{p}_k = \gamma_k m_k \vec{v}_k,$$

$$\frac{d\vec{r}_k}{dt} = \vec{v}_k \quad \beta_0 = v_0/c \quad \gamma_k = 1/\sqrt{1-v_k^2/c^2}$$

- Для решения этих уравнений используется схема 2-ого порядка по времени:

$$\frac{p_k^{m+1/2} - p_k^{m-1/2}}{\tau} = q_k \left( E^m + \beta_0 \left[ \frac{v_k^{m+1/2} + v_k^{m-1/2}}{2}, H^m \right] \right),$$

$$\frac{r_k^{m+1} - r_k^m}{\tau} = v_k^{m+1/2}.$$

# Решение уравнений Максвелла

- Плотность тока определяется по скоростям и координатам отдельных частиц:

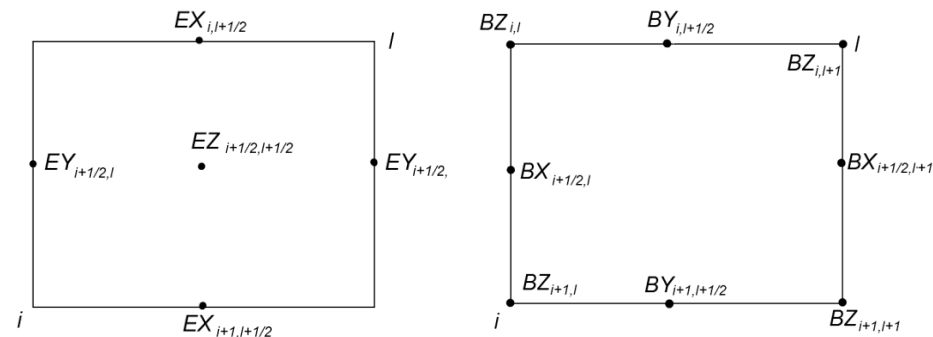
$$j(r, t) = \sum_{k=1}^K q_k v_k(t) R(r, r_k(t))$$

- Функция  $R(r, r_k(t))$  характеризует форму, размер частицы и распределение в ней заряда.
- Разностная схема Лэнгдона-Лазинского для решения уравнений Максвелла:

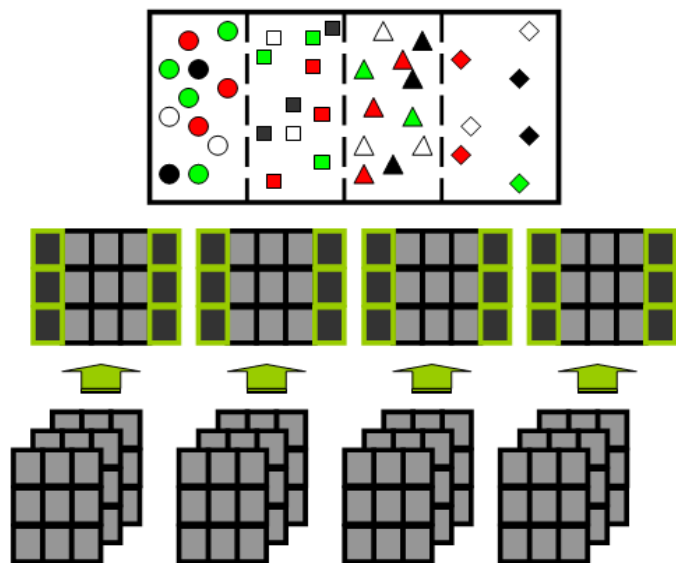
$$\frac{H^{m+1/2} - H^{m-1/2}}{\tau} = -\frac{1}{\beta_0} \text{rot}_h E^m,$$

$$\frac{E^{m+1} - E^m}{\tau} = -j^{m+1/2} + \frac{1}{\beta_0} \text{rot}_h H^{m+1/2}.$$

- Условие устойчивости схемы:  $\frac{(\beta_0 v + 1)\tau}{\beta_0 h} < 1$



# Параллельная реализация алгоритма



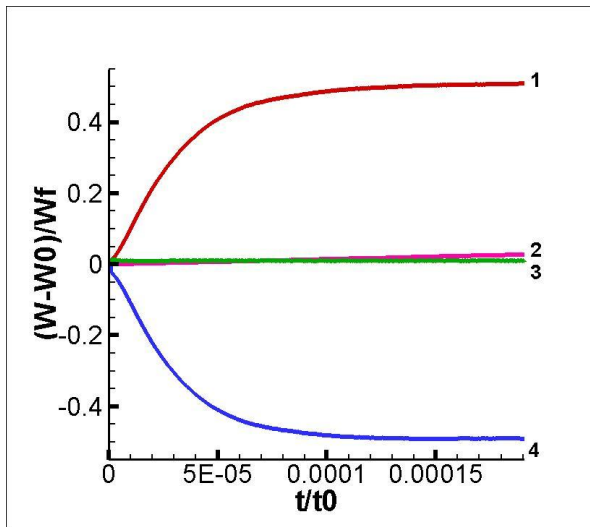
- Программа реализована с использованием MPI. Расчеты проводились на следующих вычислительных системах:
- Суперкомпьютер «Ломоносов» Научно-исследовательский вычислительный центр МГУ имени М.В.Ломоносова, г. Москва. Процессоры Intel Xeon 5570 2932 МГц, Cache 8 Mb;
- Суперкомпьютер «НКС-30Т» (НКС-G6) Сибирского Суперкомпьютерного Центра ИВМиМГ СО РАН, г. Новосибирск. Процессоры Intel Xeon E5540 2530 МГц, Cache 8 Mb.

Общее количество используемых процессорных ядер	Число процессорных ядер на подобласть	Время расчёта одного шага, сек.	Ускорение по сравнению с процессорными ядрами
256	4	2,737	1
512	8	1,448	1,89
1024	16	0,763	3,58

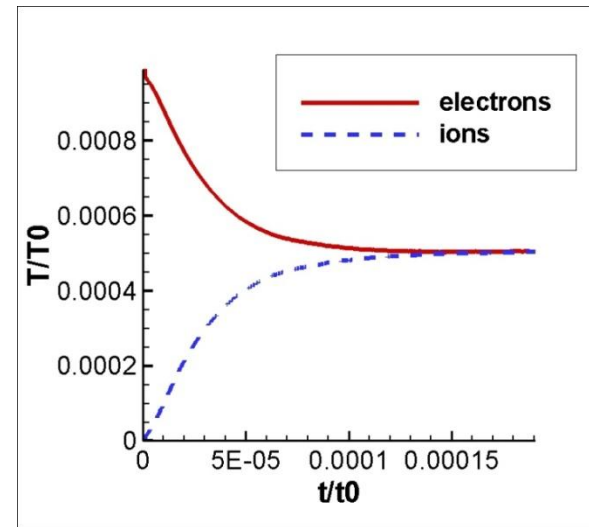
**Таблица.** Время счёта одного шага (в секундах) для различного числа процессоров и полученное ускорение.

# Установление температуры

- Плазма состоит из двух сортов частиц (ионов и электронов), электронный пучок отсутствует.
- Температура электронов задана, температура ионов в начальный момент времени - нулевая. В этом случае температура ионов и электронов должна устанавливаться, причем к одному значению. Для контроля решения использовалось изменение энергии, а темпы изменения скорости частиц являлись результатом тестирования.
- Выполнение законов сохранения



## Установление температуры

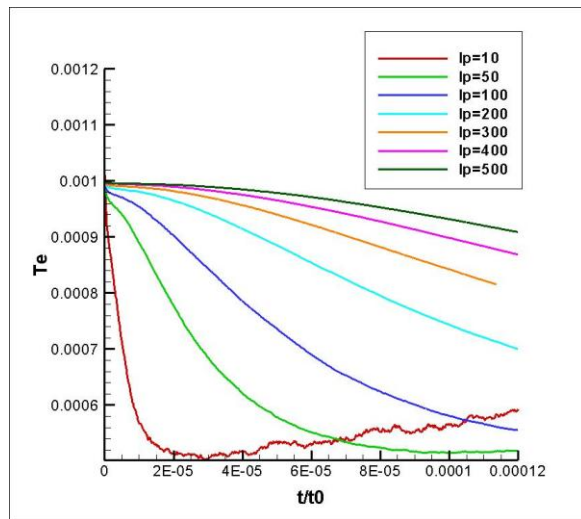


- 1 – изменение энергии ионов;
- 2 – изменение полной энергии;
- 3 – изменение напряженности электрического поля;
- 4 – изменение энергии электронов фона.



# Влияние счетных параметров на решение

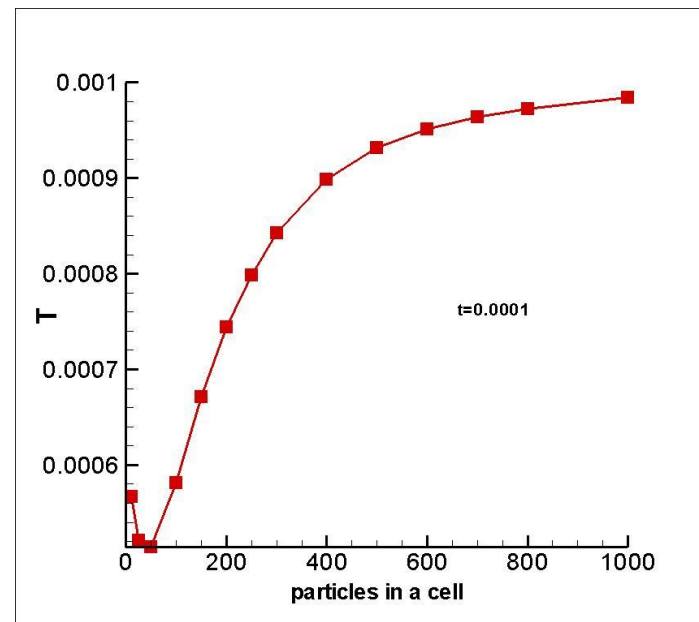
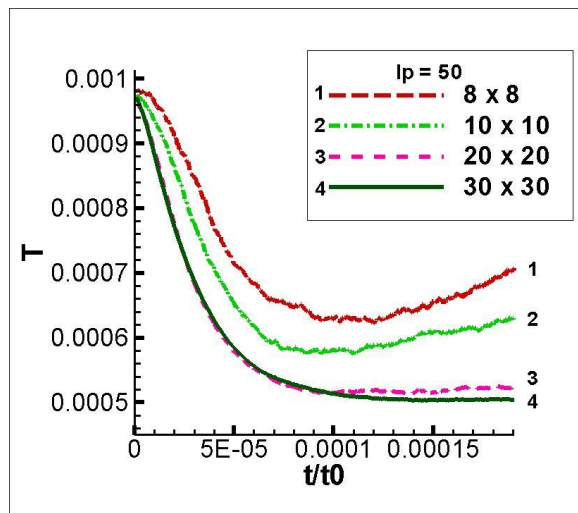
## Число частиц в ячейке



Определялась температура в момент времени  $t=5e-05$  и  $t=0.0001$  для различных значений числа частиц в ячейке.

Наблюдается сходимость решения для числа частиц в ячейке  $> 50$ .

## Шаг сетки



# Моделирование электростатической двухпоточковой неустойчивости

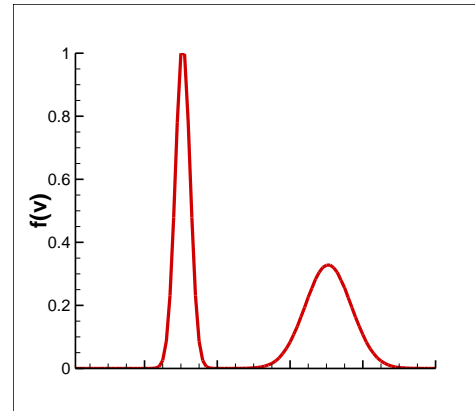
- Ионы образуют однородный неподвижный фон.
- Начальное распределение электронов:
  - пространственно однородно;
  - суперпозиция двух встречных максвелловских потоков.

$$f_0(v) = a_1 \exp\left[-\frac{(\vec{v} - \vec{v}_0)^2}{2\sigma_1^2}\right] + a_2 \exp\left[-\frac{(\vec{v} + \vec{v}_0)^2}{2\sigma_2^2}\right],$$

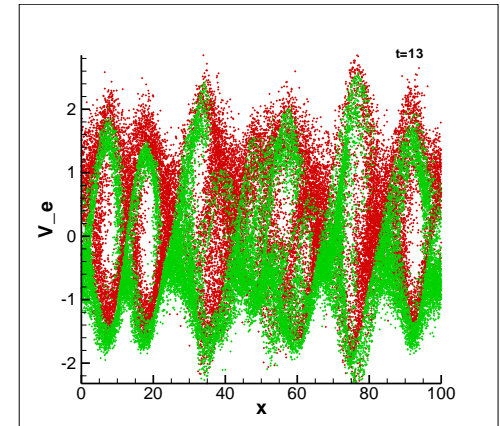
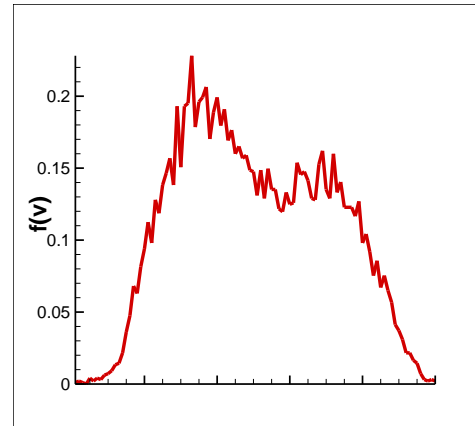
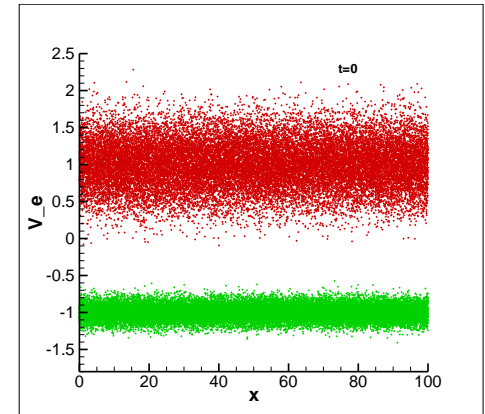
$$\vec{v}_0 = \{u, 0, 0\}, u = 1,$$

$$\sigma_1^2 = 0.1, \sigma_2^2 = 0.01.$$

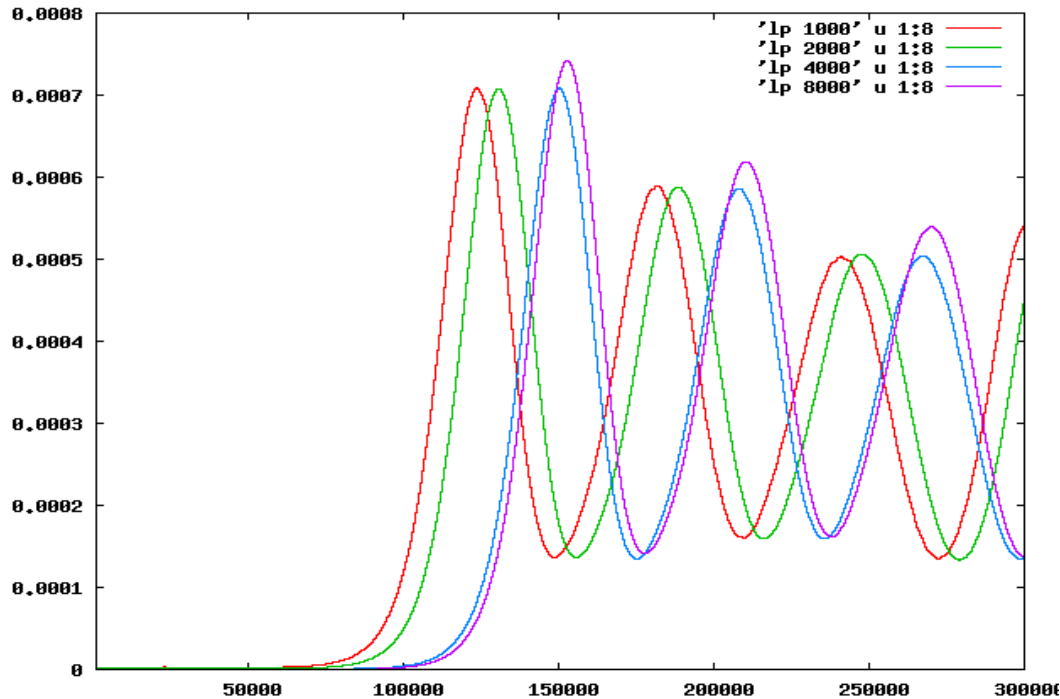
Функция распределения скорости по x



Фазовое пространство:



# Расчет инкремента нарастания амплитуды поля



$$E \sim e^{\gamma t}, \quad \gamma = \frac{\partial(\ln E)}{\partial t}$$

Исходя из теоретических оценок, на некотором участке времени напряженность электрического поля описывается экспоненциальной функцией. Для определения инкремента нарастания амплитуды поля проводился дисперсионный анализ задачи в полной гидродинамической постановке.

# Дисперсионный анализ

Гидродинамические уравнения для электронов фона

$$\frac{\partial n}{\partial t} + \operatorname{div}(n\vec{v}) = 0$$

$$\frac{\partial \vec{v}}{\partial t} + (\vec{v}\nabla)\vec{v} = -\frac{e}{m_e} \left( \vec{E} + \frac{1}{c} [\vec{v}\vec{B}] \right)$$

Гидродинамические уравнения для электронов пучка

$$\frac{\partial n_b}{\partial t} + \operatorname{div}(n_b\vec{v}_b) = 0$$

$$\frac{\partial \vec{v}_b}{\partial t} + (\vec{v}_b\nabla)\vec{v}_b = -\frac{e}{m_e} \left( \vec{E} + \frac{1}{c} [\vec{v}_b\vec{B}] \right)$$

Уравнения Максвелла

$$\frac{\partial \vec{E}}{\partial t} = c \cdot \operatorname{rot} \vec{B} + 4\pi e(n\vec{v} + n_b\vec{v}_b)$$

$$\frac{\partial \vec{B}}{\partial t} = -c \cdot \operatorname{rot} \vec{E}$$

Начальные условия

$$E_0 = 0$$

$$n_0 \neq 0$$

$$B_0 = 0$$

$$v_{x0} = 0$$

$$v_{y0} = 0$$

$$v_{z0} = 0$$

$$v_{bx0} \neq 0, v_0 = v_{bx0}$$

$$v_{by0} = 0$$

$$v_{bz0} = 0$$

$$n_{b0} \neq 0$$

Получаем систему относительно переменных:

$$v_x^*, v_y^*, v_z^*, n_b^*, v_{bx}^*, v_{by}^*, v_{bz}^*, E_x^*, E_y^*, E_z^*, B_y^*, B_z^*,$$

где  $f^* = \tilde{f} \exp(-i\omega t + ikx)$

$$\begin{bmatrix} \omega & 0 & 0 & 0 & 0 & 0 & 0 & \frac{I_e}{m_e} & 0 & 0 & 0 & 0 \\ 0 & \omega & 0 & 0 & 0 & 0 & 0 & 0 & \frac{I_e}{m_e} & 0 & 0 & 0 \\ 0 & 0 & \omega & 0 & 0 & 0 & 0 & 0 & 0 & \frac{I_e}{m_e} & 0 & 0 \\ 0 & 0 & 0 & \omega - kv_0 & -knb_0 & 0 & 0 & 0 & 0 & 0 & 0 & 0 \\ 0 & 0 & 0 & 0 & \omega - kv_0 & 0 & 0 & \frac{I_e}{m_e} & 0 & 0 & 0 & 0 \\ 0 & 0 & 0 & 0 & 0 & \omega - kv_0 & 0 & 0 & \frac{I_e}{m_e} & 0 & 0 & -\frac{I_e v_0}{m_e c} \\ 0 & 0 & 0 & 0 & 0 & 0 & \omega - kv_0 & 0 & 0 & \frac{I_e}{m_e} & \frac{I_e v_0}{m_e c} & 0 \\ 4\pi e n_0 & 0 & 0 & 4\pi e v_0 & 4\pi e nb_0 & 0 & 0 & -\omega & 0 & 0 & 0 & 0 \\ 0 & 4\pi e n_0 & 0 & 0 & 0 & 4\pi e nb_0 & 0 & 0 & -\omega & 0 & 0 & kc \\ 0 & 0 & 4\pi e n_0 & 0 & 0 & 0 & 4\pi e nb_0 & 0 & 0 & -\omega & -kc & 0 \\ 0 & 0 & 0 & 0 & 0 & 0 & 0 & 0 & 0 & kc & \omega & 0 \\ 0 & 0 & 0 & 0 & 0 & 0 & 0 & 0 & -kc & 0 & 0 & \omega \end{bmatrix}$$

$\omega$  – частота колебаний,

$k$  – волновое число

$$\gamma = \text{Im}(\omega) > 0$$

$\gamma$  - инкремент роста амплитуды поля

Система имеет нетривиальное решение, если определитель матрицы равен нулю:

$$\det A = \frac{1}{m_e^3} \omega^2 (-\omega + kv_0)^2 (-m_e \omega^2 + m_e k^2 c^2 + 4\pi e^2 n_{b0} + 4\pi e^2 n_0)^2 (-m_e \omega^4 + 2\omega^3 m_e kv_0 + 4\pi e^2 n_{b0} \omega^2 - \omega^2 k^2 v_0^2 m_e + 4\pi e^2 n_0 \omega^2 - 8\pi e^2 n_0 \omega kv_0 + 4\pi e^2 n_0 \omega k^2 v_0^2) = 0$$

Нас интересует решение для уравнения:

$$(-m_e w^4 + 2w^3 m_e k v_0 + 4\pi e^2 n_{b0} w^2 - w^2 k^2 v_0^2 m_e + 4\pi e^2 n_0 w^2 - 8\pi e^2 n_0 w k v_0 + 4\pi e^2 n_0 w k^2 v_0^2) = 0$$

Поделим его на  $-m_e$

$$w^4 - 2w^3 k v_0 + \frac{4\pi e^2 n_0}{m_e} \tilde{n}_{b0} w^2 - w^2 k^2 v_0^2 - \frac{4\pi e^2 n_0}{m_e} w^2 + 2 \cdot \frac{4\pi e^2 n_0}{m_e} w k v_0 - \frac{4\pi e^2 n_0}{m_e} k^2 v_0^2 = 0$$

Заметим, что:  $\frac{4\pi e^2 n_0}{m_e} = w_{pe}^2, n_{b0} = n_0 \cdot \tilde{n}_{b0}$

$$\left(\frac{w}{w_{pe}}\right)^4 - 2 \left(\frac{w}{w_{pe}}\right)^3 \left(\frac{k v_0}{w_{pe}}\right) + \tilde{n}_{b0} \left(\frac{w}{w_{pe}}\right)^2 - \left(\frac{k v_0}{w_{pe}}\right)^2 \left(\frac{w}{w_{pe}}\right)^2 - \left(\frac{w}{w_{pe}}\right)^2 + 2 \cdot \left(\frac{k v_0}{w_{pe}}\right) \cdot \left(\frac{k v_0}{w_{pe}}\right) - \left(\frac{k v_0}{w_{pe}}\right)^2 = 0$$

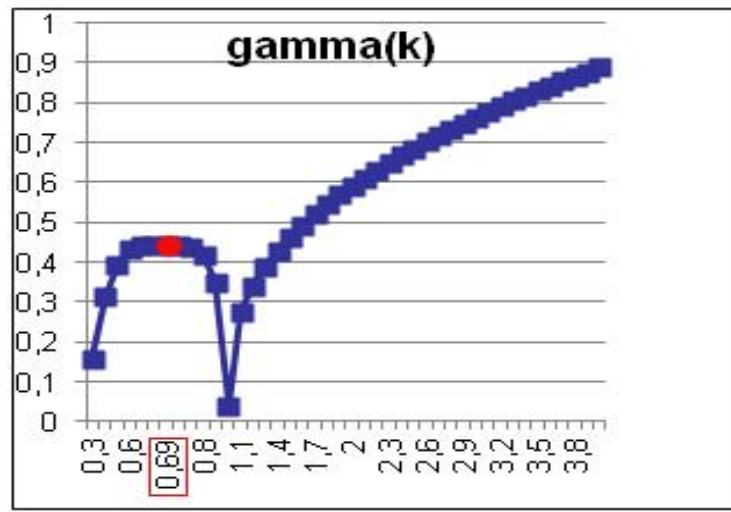
$$w_0 = w_{pe}, k_0 = \frac{w_{pe}}{v_0}$$

Тогда уравнение можно переписать в безразмерном виде:

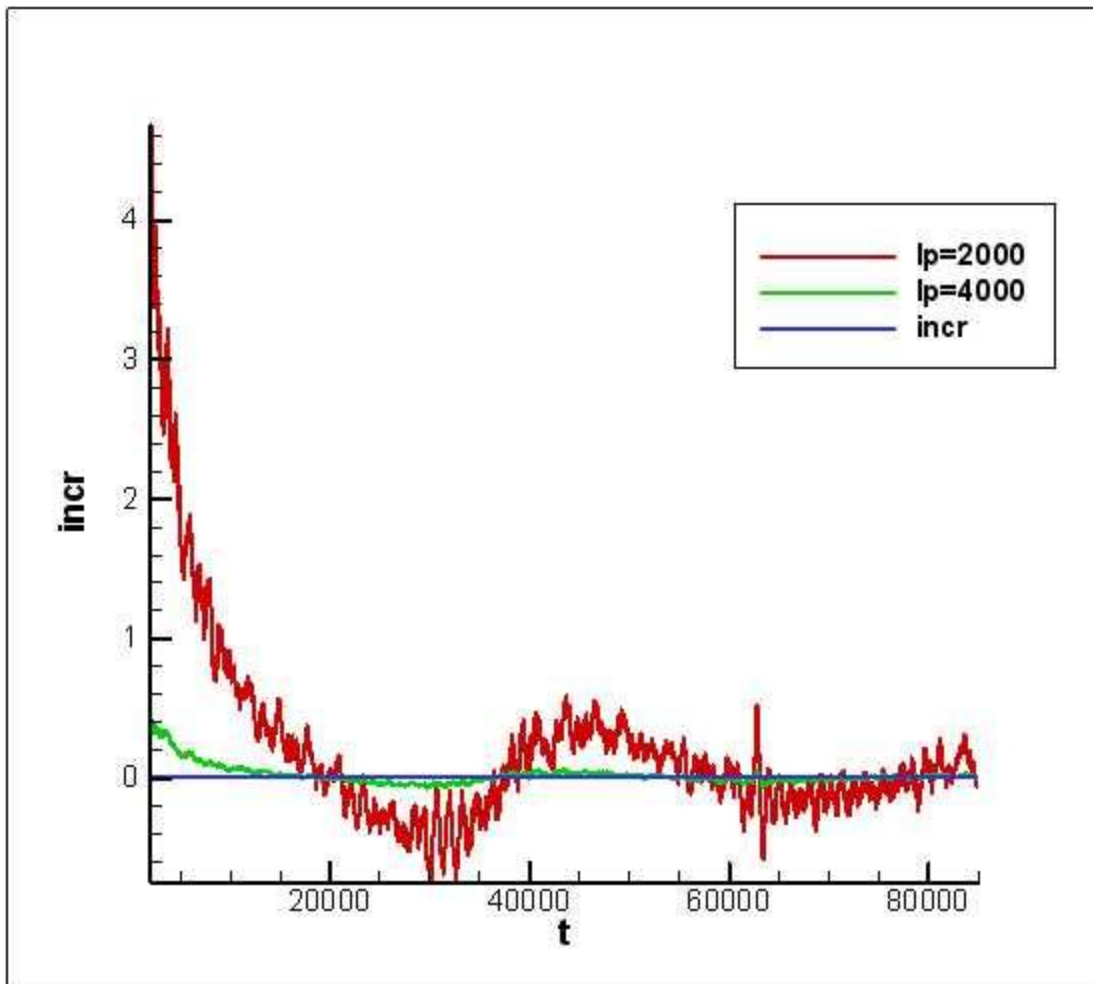
$$w^4 - 2\tilde{k}\tilde{w}^3 + (\tilde{k}^2 - \tilde{n}_{b0} - 1)\tilde{w}^2 + 2\tilde{k}\tilde{w} - \tilde{k}^2 = 0$$

$$\gamma = \text{Im}(w) > 0$$

$\gamma$  – искомый инкремент роста амплитуды поля.



# Вычисление инкремента для различного числа частиц в ячейке



$$\frac{n_b}{n_0} = \frac{1}{500}$$

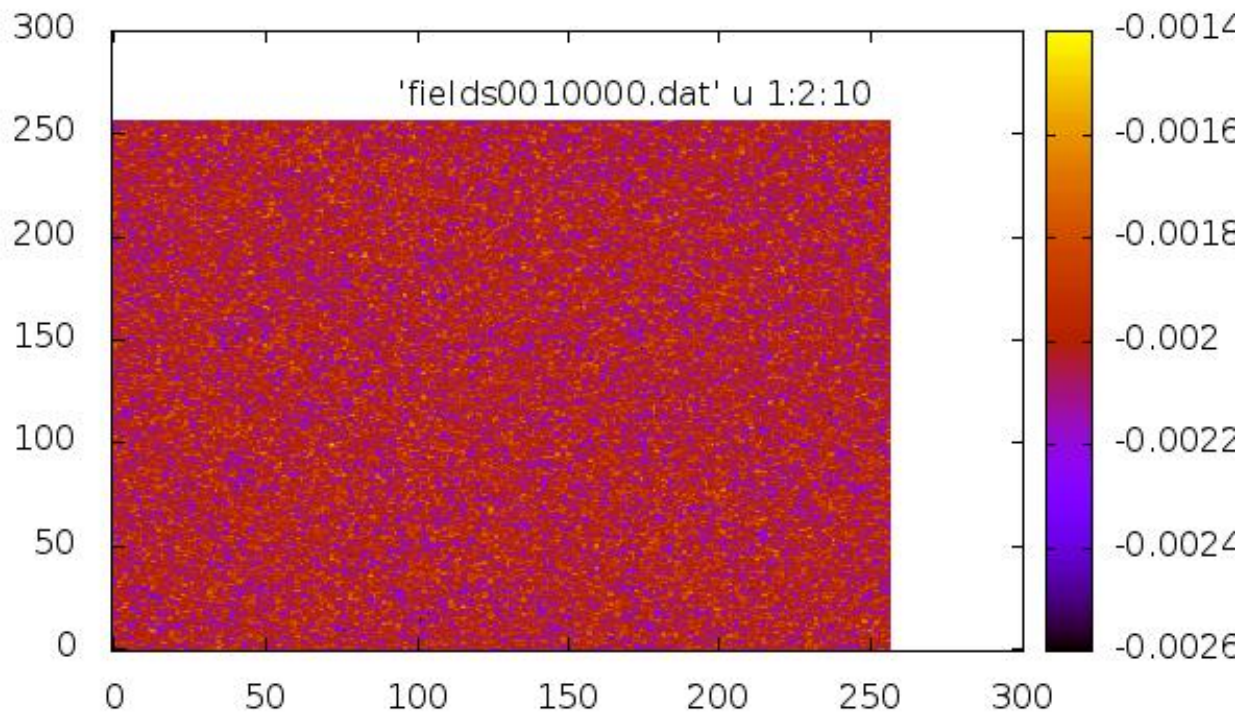
$$v_0 = 0.2$$

$$L = 1,2566$$

$$k = 1$$

$$w = 0,0091$$

# Модуляция плотности



$$\frac{n_b}{n_0} = \frac{1}{500}$$

$$v_0 = 0.2$$

$$L_x = L_y = 2,5136$$

Сетка 128 x 128

1000 частиц в  
ячейке

256 процессорных  
ядер



# Заключение

- Создан алгоритм и программа, позволяющая моделировать эффекты теплопроводности в плазме.
- Для тестирования программы рассматривалась задача установления температуры и задача о двухпоточковой неустойчивости. С помощью дисперсионного анализа получено аналитическое значение гармоник с максимальным инкрементом нарастания.
- С помощью численного моделирования удалось воспроизвести эффект резонансного возбуждения колебаний плазмы и возникновение модуляции плотности плазмы с последующим рассеянием электронов в области с повышенной плотности.

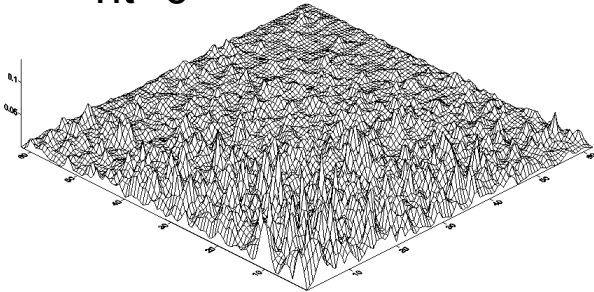
**Спасибо за внимание!**

# Фурье-анализ плотности заряда

- Размер сетки: 120x120

- Число частиц в ячейке: 200

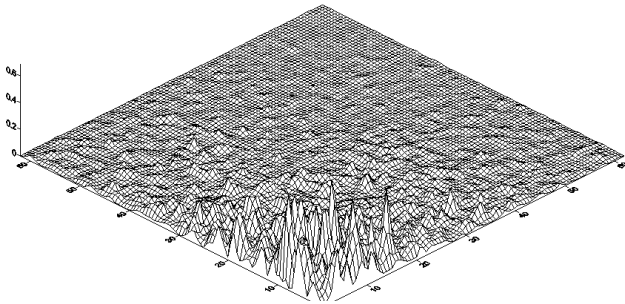
- $nt=0$



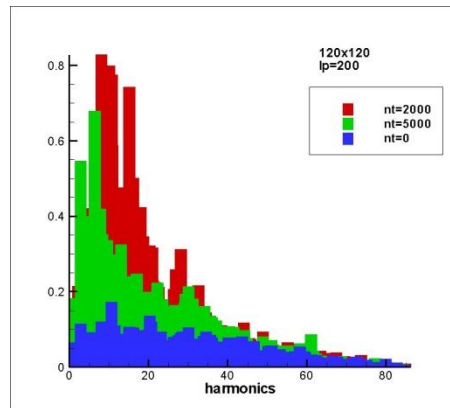
Физический механизм взаимодействия плазмы с релятивистским электронным пучком включает в себя резонансное возбуждение колебаний плазмы, возникновение модуляции плотности плазмы с последующим рассеянием электронов в области с повышенной плотностью.

Именно за счет рассеяния электронов, как предполагается, и возникает эффект понижения теплопроводности на порядки. Под модуляцией плотности в данном случае подразумевается возникновение в плазме с первоначально равномерной плотностью областей с повышенной либо пониженной плотностью.

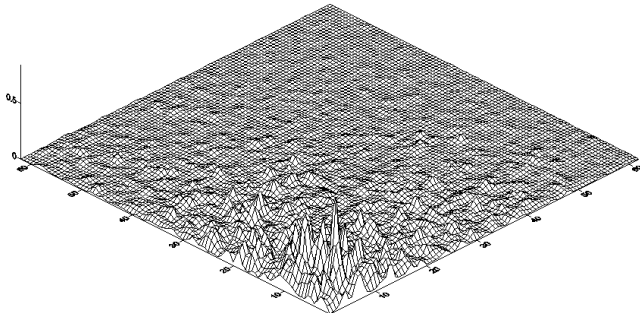
- $nt=2000$



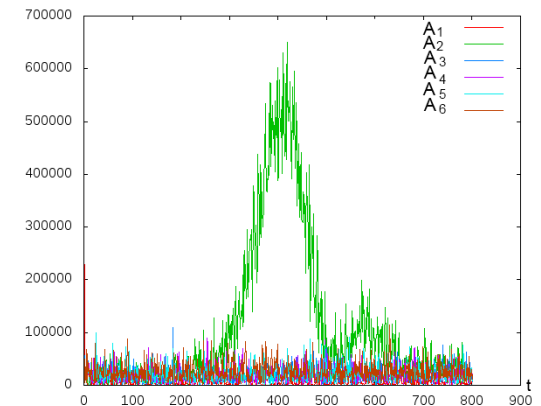
Сравнительный график гармоник Фурье-анализа плотности заряда



- $nt=5000$



Амплитуды основных гармоник плотности плазмы в зависимости от времени



Запишем эту систему в декартовых координатах, предполагая, что волна распространяется только вдоль оси  $x$ ,

т.е. пренебрегаем производными  $\frac{\partial}{\partial y}$ ,  $\frac{\partial}{\partial z}$

$$\frac{\partial n}{\partial t} + v_x \frac{\partial n}{\partial x} + n \frac{\partial v_x}{\partial x} = 0$$

$$\frac{\partial v_x}{\partial t} + v_x \frac{\partial v_x}{\partial x} = -\frac{e}{m_e} \left( E_x + \frac{1}{c} (v_y B_z - v_z B_y) \right)$$

$$\frac{\partial v_y}{\partial t} + v_x \frac{\partial v_y}{\partial x} = -\frac{e}{m_e} \left( E_y + \frac{1}{c} (v_z B_x - v_x B_z) \right)$$

$$\frac{\partial v_z}{\partial t} + v_x \frac{\partial v_z}{\partial x} = -\frac{e}{m_e} \left( E_z + \frac{1}{c} (v_x B_y - v_y B_x) \right)$$

$$\frac{\partial n_b}{\partial t} + v_{bx} \frac{\partial n_b}{\partial x} + n_b \frac{\partial v_{bx}}{\partial x} = 0$$

$$\frac{\partial v_{bx}}{\partial t} + v_{bx} \frac{\partial v_{bx}}{\partial x} = -\frac{e}{m_e} \left( E_x + \frac{1}{c} (v_{by} B_z - v_{bz} B_y) \right)$$

$$\frac{\partial v_{by}}{\partial t} + v_{bx} \frac{\partial v_{by}}{\partial x} = -\frac{e}{m_e} \left( E_y + \frac{1}{c} (v_{bz} B_x - v_{bx} B_z) \right)$$

$$\frac{\partial v_{bz}}{\partial t} + v_{bx} \frac{\partial v_{bz}}{\partial x} = -\frac{e}{m_e} \left( E_z + \frac{1}{c} (v_{bx} B_y - v_{by} B_x) \right)$$

$$\frac{\partial E_x}{\partial t} = 4\pi e (n v_x + n_b v_{bx})$$

$$\frac{\partial E_y}{\partial t} = -c \frac{\partial B_z}{\partial x} + 4\pi e (n v_y + n_b v_{by})$$

$$\frac{\partial E_z}{\partial t} = c \frac{\partial B_y}{\partial x} + 4\pi e (n v_z + n_b v_{bz})$$

$$\frac{\partial B_x}{\partial t} = 0$$

$$\frac{\partial B_y}{\partial t} = c \frac{\partial E_z}{\partial x}$$

$$\frac{\partial B_z}{\partial t} = -c \frac{\partial E_y}{\partial x}$$

Выполняем линеаризацию:  $f = f^0 + f^*$ , где  $f$  - одна из функций :

$$n, v_x, v_y, v_z, n_b, v_{bx}, v_{by}, v_{bz}, E_x, E_y, E_z, B_x, B_y, B_z$$

И пренебрегаем квадратами отклонений, получаем систему:

$$\frac{\partial n^*}{\partial t} + n_0 \frac{\partial v_x^*}{\partial x} = 0$$

$$\frac{\partial v_x^*}{\partial t} = -\frac{e}{m_e} E_x^*$$

$$\frac{\partial v_y^*}{\partial t} = -\frac{e}{m_e} \left( E_y^* + \frac{1}{c} v_z^* B_0 \right)$$

$$\frac{\partial v_z^*}{\partial t} = -\frac{e}{m_e} \left( E_z^* - \frac{1}{c} v_y^* B_0 \right)$$

$$\frac{\partial n_b^*}{\partial t} + v_0 \frac{\partial n_b^*}{\partial x} + n_{b0} \frac{\partial v_{bx}^*}{\partial x} = 0$$

$$\frac{\partial v_{bx}^*}{\partial t} + v_0 \frac{\partial v_{bx}^*}{\partial x} = -\frac{e}{m_e} E_x^*$$

$$\frac{\partial v_{by}^*}{\partial t} + v_0 \frac{\partial v_{by}^*}{\partial x} = -\frac{e}{m_e} \left( E_y^* + \frac{1}{c} (v_{bz}^* B_0 - v_0 B_z^*) \right)$$

$$\frac{\partial v_{bz}^*}{\partial t} + v_0 \frac{\partial v_{bz}^*}{\partial x} = -\frac{e}{m_e} \left( E_z^* + \frac{1}{c} (v_0 B_y^* - v_{by}^* B_0) \right)$$

$$\frac{\partial E_x^*}{\partial t} = 4\pi e (n_0 v_x^* + n_{b0} v_{bx}^* + v_0 n_b^*)$$

$$\frac{\partial E_y^*}{\partial t} = -c \frac{\partial B_z^*}{\partial x} + 4\pi e (n_0 v_y^* + n_{b0} v_{by}^*)$$

$$\frac{\partial E_z^*}{\partial t} = c \frac{\partial B_y^*}{\partial x} + 4\pi e (n_0 v_z^* + n_{b0} v_{bz}^*)$$

$$\frac{\partial B_x^*}{\partial t} = 0$$

$$\frac{\partial B_y^*}{\partial t} = c \frac{\partial E_z^*}{\partial x}$$

$$\frac{\partial B_z^*}{\partial t} = -c \frac{\partial E_y^*}{\partial x}$$

Любую функцию можно представить в виде:  $f^* = \tilde{f} \exp(-i\omega t + ikx)$ ,

$\tilde{f}$  – амплитуда волны,  $\omega$  – частота колебаний,  $k$  – волновое число.

Тогда учитывая, что  $\frac{\partial f^*}{\partial t} = -i\omega f^*$ ,  $\frac{\partial f^*}{\partial x} = ikf^*$ , а так же что  $B_0 = 0$ , система переписывается в виде:

$$\omega n^* - kn_0 v_x^* = 0$$

$$\omega v_x^* + i \frac{e}{m_e} E_x^* = 0$$

$$\omega v_y^* + i \frac{e}{m_e} E_y^* = 0$$

$$\omega v_z^* + i \frac{e}{m_e} E_z^* = 0$$

$$\omega n_b^* - kv_0 n_b^* - kn_{b0} v_{bx}^* = 0$$

$$\omega v_{bx}^* - kv_0 v_{bx}^* + i \frac{e}{m_e} E_x^* = 0$$

$$\omega v_{by}^* - kv_0 v_{by}^* + i \frac{e}{m_e} E_y^* - i \frac{e v_0}{m_e c} B_z^* = 0$$

$$\omega v_{bz}^* - kv_0 v_{bz}^* + i \frac{e}{m_e} E_z^* + i \frac{e v_0}{m_e c} B_y^* = 0$$

$$\omega E_x^* - i4\pi e n_0 v_x^* - i4\pi e n_{b0} v_{bx}^* - i4\pi e v_0 n_b^* = 0$$

$$\omega E_y^* - kc B_z^* - i4\pi e n_0 v_y^* - i4\pi e n_{b0} v_{by}^* = 0$$

$$\omega E_z^* + kc B_y^* - i4\pi e n_0 v_z^* - i4\pi e n_{b0} v_{bz}^* = 0$$

$$B_x^* = 0$$

$$\omega B_y^* + kc E_z^* = 0$$

$$\omega B_z^* - kc E_y^* = 0$$

Получаем систему относительно переменных:

$$v_x^*, v_y^*, v_z^*, n_b^*, v_{bx}^*, v_{by}^*, v_{bz}^*, E_x^*, E_y^*, E_z^*, B_y^*, B_z^*,$$

$$\begin{bmatrix} \omega & 0 & 0 & 0 & 0 & 0 & 0 & \frac{I_e}{m_e} & 0 & 0 & 0 & 0 \\ 0 & \omega & 0 & 0 & 0 & 0 & 0 & 0 & \frac{I_e}{m_e} & 0 & 0 & 0 \\ 0 & 0 & \omega & 0 & 0 & 0 & 0 & 0 & 0 & \frac{I_e}{m_e} & 0 & 0 \\ 0 & 0 & 0 & \omega - kv_0 & -kn_b0 & 0 & 0 & 0 & 0 & 0 & 0 & 0 \\ 0 & 0 & 0 & 0 & \omega - kv_0 & 0 & 0 & \frac{I_e}{m_e} & 0 & 0 & 0 & 0 \\ 0 & 0 & 0 & 0 & 0 & \omega - kv_0 & 0 & 0 & \frac{I_e}{m_e} & 0 & 0 & -\frac{I_e v_0}{m_e c} \\ 0 & 0 & 0 & 0 & 0 & 0 & \omega - kv_0 & 0 & 0 & \frac{I_e}{m_e} & \frac{I_e v_0}{m_e c} & 0 \\ 4\pi e n_0 & 0 & 0 & 4\pi e v_0 & 4\pi e n_b0 & 0 & 0 & -\omega & 0 & 0 & 0 & 0 \\ 0 & 4\pi e n_0 & 0 & 0 & 0 & 4\pi e n_b0 & 0 & 0 & -\omega & 0 & 0 & kc \\ 0 & 0 & 4\pi e n_0 & 0 & 0 & 0 & 4\pi e n_b0 & 0 & 0 & -\omega & -kc & 0 \\ 0 & 0 & 0 & 0 & 0 & 0 & 0 & 0 & 0 & kc & \omega & 0 \\ 0 & 0 & 0 & 0 & 0 & 0 & 0 & 0 & -kc & 0 & 0 & \omega \end{bmatrix}$$

Система имеет нетривиальное решение, если определитель матрицы равен нулю:

$$\det A = \frac{1}{m_e^3} \omega^2 (-\omega + kv_0)^2 (-m_e \omega^2 + m_e k^2 c^2 + 4\pi e^2 n_{b0} + 4\pi e^2 n_0)^2 (-m_e \omega^4 + 2\omega^3 m_e kv_0 + 4\pi e^2 n_{b0} \omega^2 - \omega^2 k^2 v_0^2 m_e + 4\pi e^2 n_0 \omega^2 - 8\pi e^2 n_0 \omega kv_0 + 4\pi e^2 n_0 \omega k^2 v_0^2) = 0$$

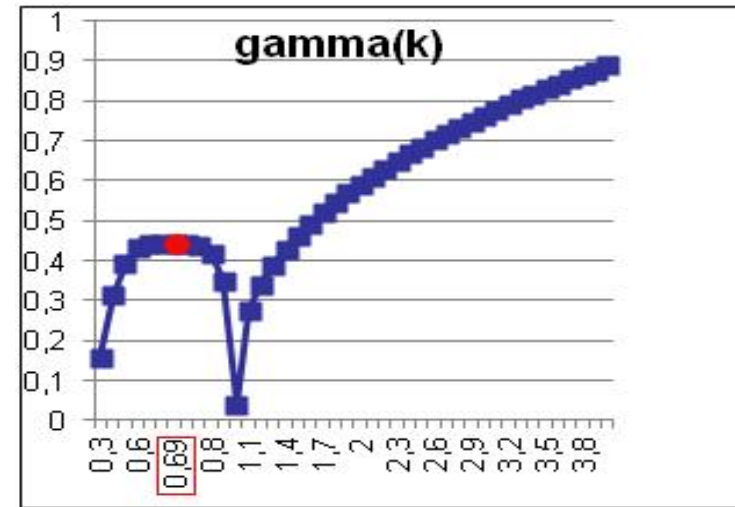
где  $f^* = \tilde{f} \exp(-i\omega t + ikx)$

$\omega$  – частота колебаний,

$k$  – волновое число

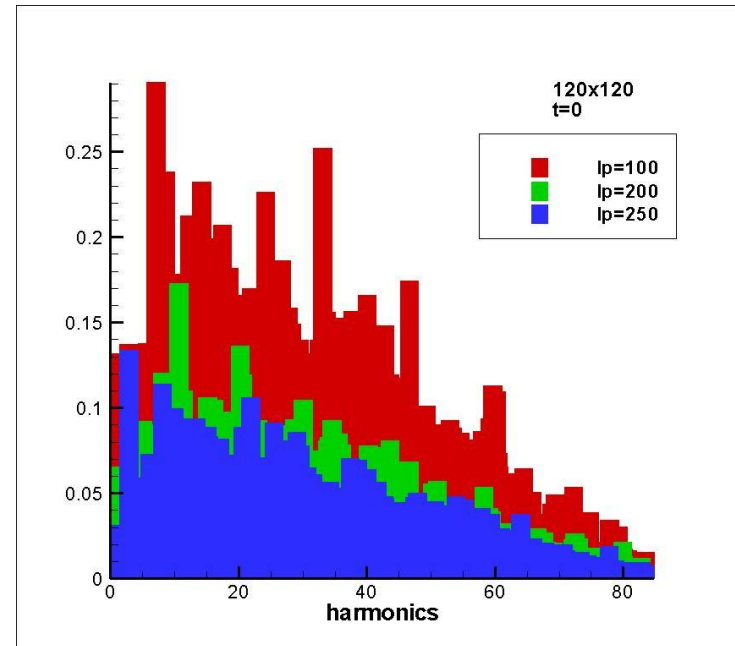
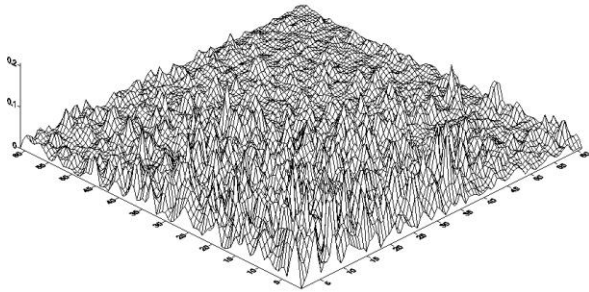
$$\gamma = \text{Im}(\omega) > 0$$

$\gamma$  - инкремент роста амплитуды поля

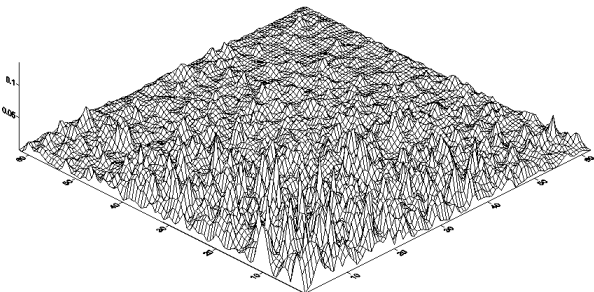


# Влияние числа частиц в ячейке на решение

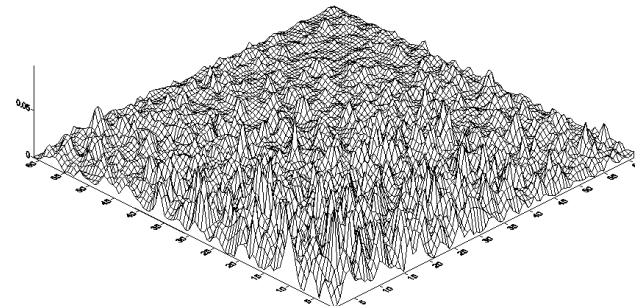
- Число частиц в ячейке: 100
- Максимальное значение амплитуды равно 0.29



- Число частиц в ячейке: 200
- Максимальное значение амплитуды равно 0.17



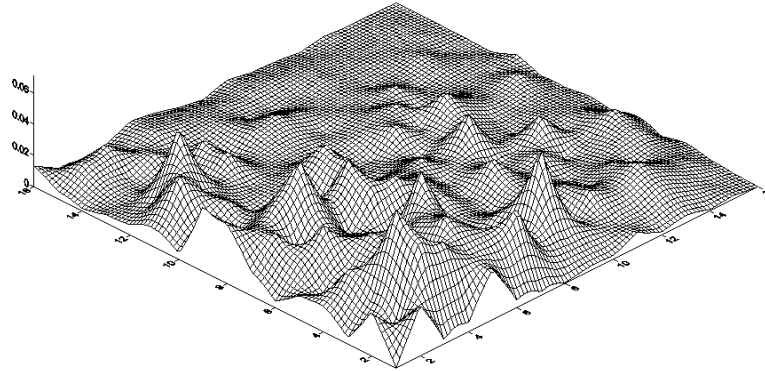
- Число частиц в ячейке: 250
- Максимальное значение амплитуды равно 0.13



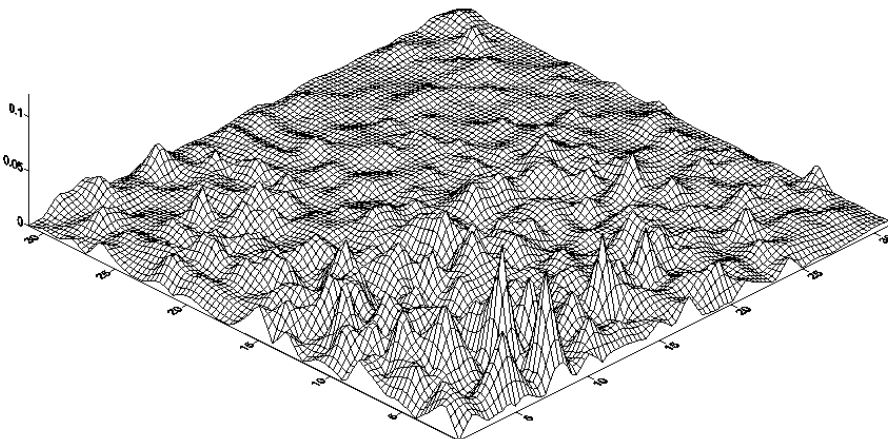


# Влияние шага сетки на решение

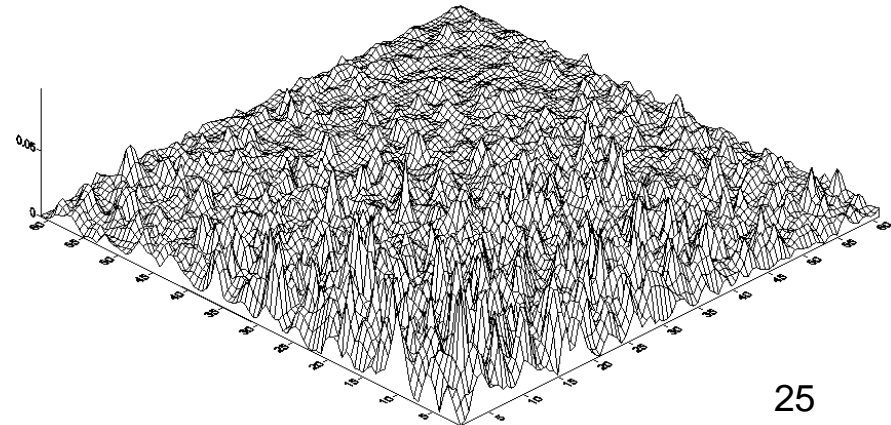
- Размер сетки: 30x30
- Число частиц в ячейке 250
- Максимальное значение амплитуды равно 0.07



- Размер сетки: 60x60
- Число частиц в ячейке 250
- Максимальное значение амплитуды равно 0.135



- Размер сетки: 120x120
- Число частиц в ячейке 250
- Максимальное значение амплитуды равно 0.13



# Расчет инкремента нарастания амплитуды поля

$$E \sim e^{\gamma t}, \quad \gamma = \frac{\partial(\ln E)}{\partial t}$$

